

应用技术

拉曼光谱表征无氢类金刚石薄膜的新方法

张玲, 赖起邦, 崔万国, 王辅明
(厦门大学 物理系, 厦门 361005)

[摘 要] DLC 薄膜的拉曼光谱表征主要依靠 D 峰和 G 峰的强度比值(I_D/I_G)来定性判断 sp^3 含量, 但当 sp^3 所占百分比高于 20% 时, I_D/I_G 值对 sp^3 含量的变化不敏感, 判断的误差很大。采用直流磁控溅射和多弧离子镀制备了一系列无氢 DLC 薄膜样品, 并测量了样品的拉曼光谱和维氏硬度。通过数据分析, 发现薄膜硬度和拉曼光谱中的 G 峰半峰宽具有很好的相关性, 因而提出通过 G 峰半峰宽来定量判断 DLC 薄膜中 sp^3 含量的拉曼光谱表征新方法。

[关键词] 类金刚石薄膜; 拉曼光谱; sp^3 含量; G 峰

[中图分类号] TB43

[文献标识码] B

[文章编号] 1001-3660(2010)04-0103-03

New Method for Analyzing Raman Spectra of Hydrogen-free Diamond-like Carbon Films

ZHANG Ling, LAI Qi-bang, CUI Wan-guo, WANG Fu-ming

(Physics Department of Xiamen University, Xiamen 361005, China)

[Abstract] The ratio between intensities of the D peak and the G peak (I_D/I_G) is used to estimate sp^3 content of the DLC films. However, this method has limitations. When sp^3 content exceeds 20%, I_D/I_G has very low correlations with the content of sp^3 , therefore, estimation of sp^3 content using this method could lead to significant error. DC-magnetron sputtering and multiple-arc ion plating are used to deposit a series of hydrogen-free diamond-like carbon samples. Raman spectra and Vickers hardness of samples were measured and analyzed. A strong correlation between the hardness and G-peak's full width at half maximum (FWHM) was discovered. The results show that it's feasible to measure the content of sp^3 by using the G-peak's FWHM in Raman spectra.

[Key words] DLC; Raman spectra; sp^3 content; G peak

类金刚石薄膜(DLC)是一系列含有 sp^3 和 sp^2 键的非晶碳膜, 它有着和金刚石膜非常接近的性质——高硬度、耐磨损、低摩擦因数、高电阻率、高透光率和高化学稳定性等^[1-2], 因此被广泛应用于机械、电子、光学和医学等各个领域, 其在半导体光电领域的应用也引起了广泛关注^[3-5]。类金刚石膜主要分为 2 种: 含氢 DLC(a-C:H)和无氢 DLC(ta-C), 文中仅研究无氢类金刚石膜的拉曼表征。

无氢类金刚石薄膜主要由金刚石键组态(sp^3)和石墨键组态(sp^2)组成, sp^2 和 sp^3 键比例的多少, 将决

定 DLC 膜的成膜质量、硬度、禁带宽度等多项性质。对于无氢 DLC 膜, C—C sp^3 键比例越高, DLC 膜与金刚石膜的性质就越接近。因此, 在 DLC 薄膜的研究工作中, sp^3 含量的测量或者定性判断是一项最基本的表征工作。 sp^3 含量的测量方法有多种, 其中拉曼光谱测量由于具有测试简易、花费时间短、对样品无损伤等优点而被广泛采用^[6-7]。目前 DLC 薄膜的拉曼表征主要依靠 D 峰和 G 峰的强度比值(I_D/I_G)来判断 sp^3 的含量, 较低的比值意味着较高的 sp^3 含量, 但在 sp^3 所占百分比高于 20% 的区域, I_D/I_G 值和 sp^3 含量

[收稿日期] 2010-04-05; **[修回日期]** 2010-06-10

[基金项目] 福建省半导体照明工程技术研究中心资助项目(2006H0092)

[作者简介] 张玲(1985—), 女, 福建人, 硕士生, 主攻 DLC 薄膜的半导体光电性质。

[通讯作者] 王辅明(1966—), 男, 福建人, 副教授, 主要研究方向为半导体材料与器件。

的相关度很低,所以 I_D/I_G 值只能用来定性判断 sp^3 的含量^[8]。文中采用直流磁控溅射和多弧离子镀制备一系列无氢 DLC 薄膜样品,测量 DLC 薄膜的拉曼光谱和硬度,发现 G 峰半峰宽与硬度之间存在很好的线性关系。基于 DLC 薄膜的硬度与 sp^3 含量的线性关系^[1],笔者提出采用 G 峰半峰宽来定量估算无氢 DLC 薄膜 sp^3 含量的拉曼表征方法。

1 实验

1.1 样品的制备

分别采用直流磁控溅射和多弧离子镀沉积了一系列样品。磁控溅射设备为北京创威纳科技有限公司生产的 JS2S-80D 型溅射台,工作电源为 2 000 W 直流电源。溅射时施加直流功率 400~800 W,部分样品的衬底在 120 °C 温度下烘烤 10 min 后再开始沉积。离子镀设备为 CAP-4 多弧离子镀膜机,工作电源为 30 kW 脉冲电源,可承载最高电压 1 100 V,最高电流 30 A。镀膜时施加脉冲偏压 90~200 V,脉冲占空比为 74%。溅射靶材都采用高纯石墨靶,通氩气作为辅助溅射气体。样品均生长在 n 型硅基片上,基片经标准清洗后镀膜,膜厚为 300~400 nm。

1.2 样品的测试

拉曼光谱测试采用英国 RENSISHAW 公司的 R1000 型共显焦拉曼谱仪,激发光源为 Innova 200 型氩离子激光器,激发波长为 514.5 nm。激光功率为 6 mW,到达样品的功率约为 20 mW,测试范围为 1 000~1 800 cm^{-1} 。

硬度测试采用华银 HV-1000 型显微硬度计,施加 10 g 载荷值,将顶角为 136° 的金刚石方形锥压入器压入薄膜表面,悬停 10 s,测得样品压痕凹坑的表面积,将载荷值除以该表面积即得维氏硬度。

2 结果与讨论

2.1 高斯方法拟合拉曼光谱

DLC 薄膜的拉曼光谱由 1 350 cm^{-1} 附近的 D 峰和 1 580 cm^{-1} 附近的 G 峰组成。图 1a 和图 1b 分别给出了低 sp^3 含量和高 sp^3 含量样品的拉曼光谱,图 1b 中的 D 峰几乎完全消失,只剩下明显的 G 峰。高斯拟合方法采用 2 个高斯曲线分别拟合拉曼光谱中的 D 峰和 G 峰,图 1a 展示了拟合 D 峰和 G 峰的高斯曲线以及二者的叠加。通过高斯拟合,可以得到 D 峰、G 峰的覆盖面积及 G 峰的半峰宽等信息。

2.2 I_D/I_G 值与硬度的关系

根据高斯拟合结果,得出样品的 D 峰和 G 峰所覆

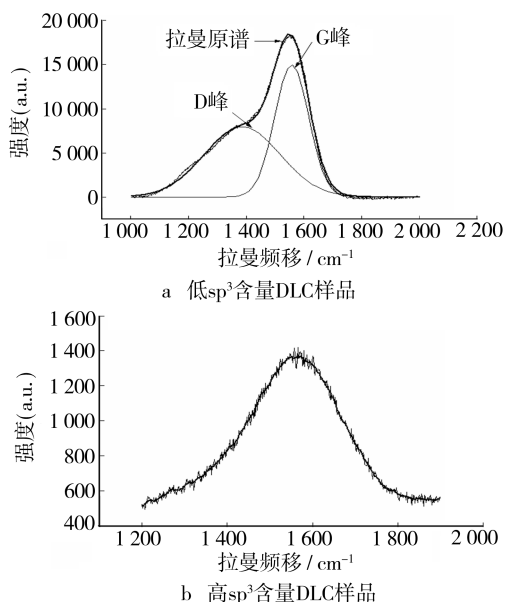


图 1 DLC 样品的拉曼光谱及高斯拟合

Fig. 1 Raman spectra of DLC sample and its Gaussian fit
盖的面积,从而计算出 D 峰和 G 峰的强度比值 I_D/I_G 。图 2 为硬度与 I_D/I_G 值的关系图。

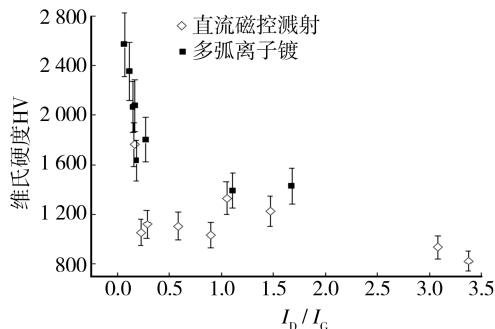


图 2 维氏硬度与 I_D/I_G 的关系

Fig. 2 Vickers hardness versus I_D/I_G ratio

图 2 显示,硬度值超过 1 700HV, I_D/I_G 值低于 0.25 时, I_D/I_G 值不再随硬度值发生显著变化,这一结果与其他相关文献的研究结果一致^[8]。无氢 DLC 膜的硬度越高,薄膜中 C—C sp^3 键比例越高,二者之间存在线性关系^[1]。因此,可以通过研究拉曼光谱与硬度的相关性,来研究拉曼光谱与 sp^3 含量的关系。根据文献^[1]和^[8], I_D/I_G 值达到 0.25 时, DLC 膜的 sp^3 所占百分比约为 20%; 所以, I_D/I_G 值只能在 sp^3 百分比小于 20% 的范围内对 sp^3 含量作出较为准确的判断,而在大的范围内, I_D/I_G 值只能对 sp^3 含量作出定性判断。文中的实验数据以及笔者前期研究结果^[8]证明,在高 sp^3 含量的 DLC 薄膜中,单纯利用 I_D/I_G 值来判断 sp^3 含量存在很大问题。

2.3 半峰宽与硬度的关系

根据高斯拟合结果,得出样品 G 峰的半峰宽,图 3 给出了硬度与 G 峰半峰宽的关系。

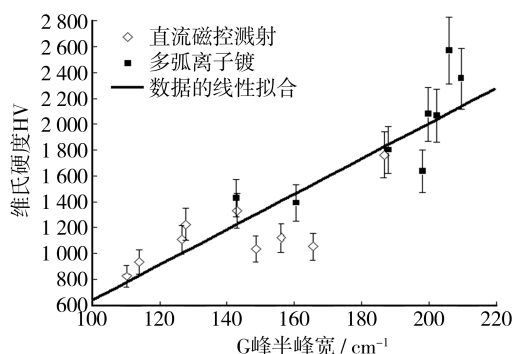


图 3 维氏硬度与 G 峰半峰宽的关系

Fig. 3 Vicker hardness versus FWHM of G peak

可以看出,硬度与 G 峰半峰宽相关度良好,较大的 G 峰半峰宽对应较高的硬度值。对图中的相关数据进行线性拟合,拟合结果表明,硬度与 G 峰半峰宽具有近似的线性关系。在 DLC 薄膜的拉曼谱中,G 峰半峰宽总是随着薄膜无序度的增加而增加^[9]。无氢 DLC 膜中的 sp^2 键总体上是无序连接的,随着 sp^3 组分的增加, sp^2 组分降低,使得 sp^2 团簇尺寸减小,膜内应力增加,键角混乱度增加,从而 G 峰不断宽化^[10]。因此,G 峰半峰宽与 sp^3 含量,进而与 DLC 膜硬度有可能存在较强的相关度。笔者的实验结果证明,G 峰半峰宽与 DLC 膜硬度之间的相关度很高,因而可以通过测量 G 峰半峰宽来定量测量无氢 DLC 膜中 sp^3 的含量。

但该方法仅适用于无氢 DLC 薄膜。对于含氢的 DLC 薄膜(a-C:H),由于 C—H 键的存在,使得 DLC 薄膜的内应力大大下降^[11], sp^2 团簇受应力影响而发生的键角无序效应得到缓解,因此, sp^2 的无序度和 G 峰的半峰宽受 DLC 薄膜中氢含量的影响严重。所以,在含氢的 DLC 薄膜中,G 峰的半峰宽与 sp^3 含量的相关性无法得到保证,故此方法不适用。

3 结论

对于 sp^3 所占百分比高于 20% 的 DLC 薄膜,D 峰

和 G 峰的强度比值(I_D/I_G)对 sp^3 含量的变化不敏感,因此采用 I_D/I_G 表征方法测量 sp^3 含量会失去准确性。文中证实 G 峰半峰宽与 DLC 的硬度具有良好的线性关系,进而推断出 G 峰半峰宽与 sp^3 含量具有良好的线性关系。因此,可以通过 G 峰半峰宽在大范围内测量 sp^3 的含量。该方法只适用于无氢 DLC 薄膜。

[参 考 文 献]

- [1] Robertson J. Diamond-like Amorphous Carbon[J]. Materials Science and Engineering R, 2002, 37: 129—281.
- [2] 邓新绿,马国佳. 类金刚石膜的应用及制备[J]. 真空, 2002(5):27—31.
- [3] Wang F M, Chen M W, Lai Q B. Metallic Contacts to Nitrogen and Boron Doped Diamond-like Carbon Films [J]. Thin Solid Films, 2010, 518(12):3332—3336.
- [4] 程翔. 类金刚石薄膜光电性质研究与 MSM 光电器件探索[D]. 厦门:厦门大学, 2004.
- [5] Kawai S, Shinagawa T, Noda M, et al. Photoconductivity of DLC Film Deposited by Pulsed Discharge Plasma CVD [J]. Diamond & Related Materials, 2008,17:676—679.
- [6] 齐海成,冯克成,杨思泽. 射频输入功率对类金刚石薄膜性能的影响[J]. 表面技术, 2009, 38(3):41—43.
- [7] 陈莲华,车晓舟,王平,等. FCVA 法沉积的超薄类金刚石薄膜的结构与热稳定性[J]. 真空科学与技术学报,2009, 29(3): 318—323.
- [8] Ferrari A C, Robertson J. Interpretation of Raman Spectra of Disordered and Amorphous Carbon [J]. Physical Review B, 2000, 61(20):14095—14107.
- [9] Ferrari A C, Rodil S E, Robertson J. Interpretation of Infrared and Raman Spectra of Amorphous Carbon Nitrides[J]. Physical Review B, 2003,67: 1—20.
- [10] Schwan J, Ulrich S, Batori V, et al. Raman Spectroscopy on Amorphous Carbon Films [J]. Appl Phys, 1996, 80: 440—447.
- [11] Ferrari A C, Robertson J. 碳材料的拉曼光谱——从纳米管到金刚石[M]. 谭平恒,李峰,成会明译. 北京:化学工业出版社, 2007: 194.

(上接第 93 页)

- [3] 费振义,刘如伟,王东江,等. 船舶与集装箱用钢板预处理过程中所用磨料的对比[J]. 材料开发与应用,1996, 11(6):13—14.
- [4] 舒型武. 钢渣特性及其综合利用技术[J]. 钢铁技术,2007(6):48—49.
- [5] 赵俊学. 冶金原理[M]. 西安:西北工业大学出版社,2002.
- [6] 欧阳东,谢宇平,何俊元. 转炉钢渣的组成、矿物形貌及胶凝特性[J]. 硅酸盐学报,1991,19(6):489—494.
- [7] 欧阳东. 转炉钢渣粉磨性能的实验研究[J]. 水泥工程,

1997(2):36—38.

- [8] 胡长春. 船体除锈高效磨料[J]. 华中科技大学学报(自然科学版),1983(S1):159—170.
- [9] 都昌林,易春龙. 钢桥面无尘喷砂除锈设备及施工工艺[J]. 表面技术,2004,33(2):46—49.
- [10] 王志升. 矿渣除锈在车辆检修中的应用[J]. 铁道车辆, 1995,33(9):58—59.
- [11] 胡东风,仵增瑞. 转炉钢渣风碎技术在石钢 30t 转炉的应用[J]. 河北冶金,1997,9(33):35—39.